

کانسار مس معدن بزرگ با میزبان آتشفشاری، نمونه‌ای از کانسارهای مس نوع مانتو، خاور شاهروند

لیلا صالحی^{۱*}، ایرج رسا^۲، سعید علیرضایی^۳ و احمد کاظمی مهرنیا^۴

^۱ دکترا، گروه زمین‌شناسی، دانشکده علوم زمین، دانشگاه شهید بهشتی، تهران، ایران

^۲ استاد، گروه زمین‌شناسی، دانشکده علوم زمین، دانشگاه شهید بهشتی، تهران، ایران

^۳ استادیار، گروه زمین‌شناسی، دانشکده علوم زمین، دانشگاه شهید بهشتی، تهران، ایران

^۴ دکترا، شرکت مهندسین مشاور پارسی کان کاو، تهران، ایران

تاریخ دریافت: ۱۳۹۳/۱۲/۰۶ تاریخ پذیرش: ۱۳۹۴/۰۵/۳۱

چکیده

کانسار مس معدن بزرگ در ۱۳۰ کیلومتری خاور شاهروند و در محدوده معدنی عباس آباد قرار دارد. این محدوده شامل کمریندی از سنگ‌های آتشفشاری- آذرآواری، همراه با میان‌لایه‌های رسوبی با راستای شمال خاور- جنوب باخته، در برگیرنده ۸ کانسار مس است. سنگ‌های آتشفشاری این محدوده، به طور چیره شامل تراکی آندزیت، تراکی آندزیت- بازالت و تراکی بازالت به سن اثوسن است. این سنگ‌ها، ماهیت شوшуونیتی تا پاتاسیم بالا دارند و از دید جایگاه زمین ساختی در موقعیت کمان حاشیه فعال قاره‌ای جای می‌گیرند. سنگ درونگیر این کانسار، سنگ‌های تراکی آندزیت با بافت پورفیریک تا مگاپورفیریک، گلوموپورفیریک و بادامکی است. بر پایه مشاهدات صحرابی، مطالعات میکروسکوپی، طیف‌سننجی رامان و XRD، دو نوع دگرسانی ناحیه‌ای و محلی در واحدهای آتشفشاری آذرآواری می‌شود. دگرسانی پروپیلیتیک شاخص دگرسانی ناحیه‌ای است و در همه سنگ‌های آتشفشاری و آذرآواری دیده می‌شود. دگرسانی محلی، مرتبط با کانه‌زایی مس است و با دگرسانی‌های کلسیمی، سیلیسی، سریسیتی و کلریتی مشخص می‌شود. کانه‌زایی مس، ساده و چینه کران است. بافت کانسنگ، دانه پراکنده، داریستی و رگه- رگچه‌ای است و کانه‌سازی به صورت پر کردن فضاهای خالی و همین‌طور جانشینی صورت گرفته است. بر پایه مطالعات میکروسکوپی و داده‌های EPMA، کانه‌های گروه کالکوستی شامل کالکوستی، ژورلیت، آنیلت، دیزنت و کولولیت هستند، کانه‌های اصلی این کانسار به شمار می‌آیند که با بورنیت و پیریت همراهی می‌شوند. کوولیت، مالاکیت، آزوریت، کربیز و کولا و گوتیت، کانه‌های تانویه و کوارتز، زئولیت، کلریت، اپیدوت، کلسیت و کالسدنی، کانه‌های غیرفلزی هستند. برای تشکیل این کانسار، دو مرحله گرمایی اولیه و مرحله غنی‌شدگی ثانویه- اکسایش پیشنهاد می‌شود. بر پایه مطالعات میانبارهای سیال، دمای همگن شدگی میان ۹۰ تا ۲۶۸ (با میانگین ۱۷۶) درجه سانتی گراد است. دامنه تغییرات شوری میان ۳/۴ تا ۲۲ (با میانگین ۱۳/۲) درصد وزنی نمک طعام به دست آده است. چکالی سیال میان ۰/۸ تا ۱/۱ است. ژرفای به دام افتادن میانبارهای سیال در این کانسار کمتر از ۲۰۰ متر و فشار حاکم در طی تشکیل کانسنگ، کمتر از ۵۰ بار بوده است. کانسار معدن بزرگ، بر پایه ویژگی‌های زمین‌شناسی، کانه‌شناختی، بافت و ساخت کانسنگ و داده‌های حاصل از میانبارهای سیال قابل مقایسه با کانسارهای مس نوع مانتو است که از برخی مجموعه‌های آتشفشاری مزوزویک و سنوزویک دنیا گزارش شده است.

کلیدواژه‌ها: مس نوع مانتو، معدن بزرگ، عباس آباد، کالکوستی، آتشفشاری سنوزویک، میانبار سیال.

*نویسنده مسئول: لیلا صالحی

E-mail: salehi1006@gmail.com

۲- زمین‌شناسی منطقه

محدوده معدنی عباس آباد با گسترش تقریبی ۱۳۰ کیلومتر مریع در بخش شمالی پهنه ایران مرکزی قرار دارد. این محدوده، شامل کمریندی از سنگ‌های آتشفشاری- رسوبی با راستای شمال خاور- جنوب باخته و سن اثوسن تا الیگوسن است که به طور چیره از گدازه‌های آندزیتی- بازالتی و سنگ‌های آذرآواری، همراه با شیل توفی، ماسه‌سنگ توفی، توف، شیل، سیلت سنگ، ماسه‌سنگ، کنگلومرا و سنگ‌آهک نومولیت دار تشکیل شده است (شکل ۲). حد شمالی این کمریند، به افولیت‌های سبزوار و حد جنوبی آن به دشت کویر می‌رسد. از دید ساختاری، این محدوده، ناودیسی با محور خاوری- باختری است که توسط گسل‌های کوچک و بزرگ شکسته شده است. خلعتبری جغرافی (۱۳۸۰) شکستگی‌های این ناحیه را به ۳ دسته تقسیم می‌کند؛ الف) شکستگی‌های با روند شمال باختری- جنوب خاوری که به طور چیره شامل گسل‌های عادی و یا راستالغاز هستند؛ ب) شکستگی‌هایی با روند شمال خاوری- جنوب باختری تا خاوری- باختری با مؤلفه‌های متغیر که گاه گسل‌های دسته نخست را قطع می‌کنند. این شکستگی‌ها از مهم ترین روندهای منطقه هستند؛ ج) شکستگی‌های با روند شمال خاوری- جنوب باختری تا شمالی- جنوبی که مهم‌ترین آن گسل کال آبدار است.

۱- پیش‌گفتار
کانسار مس معدن بزرگ در ۱۳۰ کیلومتری خاور شاهروند و در محدوده معدنی عباس آباد قرار دارد (شکل ۱-الف). این محدوده، در تقسیم‌بندی ساختاری ایران (Alavi, 1991) جزیی از مجموعه ماسگمایی شمال خاور ایران است (شکل ۱-ب). وجود چند کانسار مس در این محدوده، توان معدنی بالای آن را نشان می‌دهد. این کانسارها دارای سنگ میزبان آتشفشاری تا آذرآواری هستند. اولین اکتشافات سیستماتیک در این محدوده را کارشناسان یوگسلاو و رومانیایی در دهه ۱۹۶۰ انجام داده‌اند (سامانی، ۱۳۸۶). مطالعات پیشین روی این کانسار و کانسارهای مجاور (BRGM Company, 2005) بیشتر جنبه اکتشافی و معدنی داشته است. در مورد ماهیت کانسنگ و شرایط تشکیل آن و نوع کانه‌سازی در کانسارهای محدوده معدنی عباس آباد، نظرات مختلفی ارائه شده است. از جمله لطفی و نوروزی (۱۳۸۰) این کانسارها را جزو کانسارهای نوع سولفید توده‌ای بشی و علی‌نیا و دهقان‌زاد (۱۳۸۳) این کانسارها را از نوع رگه‌ای و اپی‌ترمال معروفی کرده‌اند. هدف از این پژوهش، مشخص کردن نوع کانه‌زایی بر پایه ویژگی‌های زمین‌شناسی، کانه‌شناختی و بافت و ساخت، دگرسانی و میانبارهای سیال است.

می‌دهد که این واحد، جوانتر از سنگ‌های رسوبی یاد شده است (شکل ۳-ب). سنگ درونگیر ماده معدنی به شدت تحت تأثیر شکستگی‌ها، درزه‌ها و گسل‌ها قرار گرفته است و جایه‌جایی‌های محلی دیده می‌شود. در این سنگ، پدیده برشی شدن در بعد متفاوت دیده می‌شود که با سیمان کوارتز، کلسیت و ماده معدنی همراه است (شکل ۳-پ). بافت این سنگ‌ها، پورفیریک تا مگاپورفیریک، گلومرپورفیریک و بادامکی است (شکل‌های ۳-ت، ۳-ج). بلورهای درشت پلاژیوکلاز از چند میلی‌متر تا چند سانتی‌متر در متن خاکستری تا سیز سنگ یافت می‌شوند. پلاژیوکلاز به همراه کلینوپیروسن، کانی‌های اصلی سنگ راشکیل می‌دهند. مغنتیت به عنوان کانی همراه (accessory) وجود دارد، که به صورت بین دانه‌ای و نیز به صورت میانبار در کلینوپیروسن و پلاژیوکلاز دیده می‌شود. مگنتیت، مارتیت شده و در اثر این پدیده، تیغه‌های نازک هماتیت ایجاد شده است. کانی‌های ثانویه کلسیت، زئولیت، کوارتز و کالسدونی حفرات موجود در سنگ را پر کرده و بافت و ساخت بادامکی پدید آورده‌اند (شکل ۳-ج). سنگ‌های درونگیر ماده معدنی به شدت دگرسان شده‌اند و مهم‌ترین کانی‌های دگرسانی شامل کلریت، اپیدوت، کلسیت، کوارتز، زئولیت و پرهنیت است.

۶- کانه‌زایی

فرایند کانه‌زایی در همه پیکره سنگ درونگیر آتشفشنایی به صورت چینه کران (Stratabound) گسترش دارد. درازای پهنه کانه‌زایی در حدود ۲ کیلومتر و سمترا ای آن، از ۱۰ تا بیش از ۳۵ متر متغیر است. بیشترین تمرکز و تجمع رگه‌ها و رگجه‌های مس در مرز میان واحد آتشفشنایی تراکی آندزیت (واحد E_6) با واحد رسوبی بالای (واحد E_5) رخ داده است. از این رو، بیشتر کارهای دیرین استخراجی در این بخش حفر شده است.

۷- کانی‌شناختی، بافت و ساخت کانسار

ماده معدنی دارای بافت و ساخت دانه پراکنده، داربستی، رگه-رگجه‌ای، پرکننده فضای خالی و جانشینی است (شکل‌های ۴-الف، ۴-ب و ۴-پ). سترای رگه‌ها و رگجه‌های کالکوپیت بسیار کم است و به ندرت از چند سانتی‌متر بیشتر می‌شود. این کانه، در حفرات سنگ درونگیر، ساخت و بافت پرکننده فضای خالی را نشان می‌دهد. در بیشتر موارد حفرات از خارج به داخل دارای منطقه‌بندی کالکوپیت+ هماتیت، کوارتز+ کالسدونی، پرهنیت \pm کلسیت است.

کانی‌های اولیه یا درونزاد (هیپرزن) در کانسار معدن بزرگ شامل کانی‌های گروه کالکوپیت، پیریت، بورنیت و هماتیت است. همچنین کانی‌های آرنستوپیریت، کالکوپیریت و گالن به مقدار کم دیده می‌شود. کانی‌های گروه کالکوپیت به عنوان کانی‌های اولیه و اصلی مس دار در این کانسار معروفی می‌شود. این گروه یا سری سولفیدی غنی از مس شامل کالکوپیت (chalcocite)، ژورلیت (djurleite)، روکسبیت (roxbyite)، دیژنیت (digenite) و آنیلیت (anilite) است (Gablina et al., 2006).

پس از آنکه کانسنسنگ در سطح زمین و در معرض پدیده‌های برونزاد (سوپرزن) قرار گرفته است، برخی کانی‌های سازنده کانسنسنگ ناپایدار و به کانی‌های پایدار در شرایط سطحی تبدیل شده‌اند. این کانی‌های ثانوی به طور چیره شامل کوولیت، مالاکیت، آزوریت، کربزوکولا و گوئیت است.

بر پایه داده‌های الکترون پرپو (EPMA)، حضور عناصر طلا و نقره در بورنیت و گروه کالکوپیت مشهود است (جدول ۱). از رسوبی در این کانسار، کانی‌های مجزای این عناصر دیده نمی‌شود. در ترکیب شیمیایی کانی‌های گروه کالکوپیت، عناصر Fe، Ag و Au حضور دارند (جدول ۱). در این کانی‌ها میانگین مقدار

یکی از بزرگ‌ترین و مهم‌ترین کانسارهای این محدوده، معدن بزرگ است که پنهانه‌ای با گسترش حدود ۲/۵ کیلومترمربع را شامل می‌شود. کهن‌ترین واحدهای سنگی بروندز یافته در محدوده این کانسار، متعلق به اونسن میانی است. این واحدهای شامل مجموعه‌ای از گذرازهای تراکی آندزیتی تا تراکی بازالتی، سنگ‌های آذرآواری، سنگ‌آهک فسیل دار، ماسه‌سنگ و کنگالومرا هستند (شکل ۲). روی این مجموعه، واحدهای اثوسن-الیگوسن قرار می‌گیرند که خود شامل ماسه‌سنگ، شیل و کنگالومرا هستند. رسوبات کواتربرنی نیز بخش قابل ملاحظه‌ای از مناطق کم ارتفاع و پست را در این محدوده به خود اختصاص می‌دهند (شکل ۲). بالاترین بخش مجموعه آتشفشنایی، مشکل از تراکی آندزیت خاکستری با بافت پورفیریک و مگاپورفیریک است. این بخش به عنوان افق معدنی در نظر گرفته می‌شود؛ چرا که میزبان کانه‌زایی مس است. ستبرای این افق در محدوده کانسار، میان ۱۲ تا ۴۰ متر و بیشترین کانه‌زایی در بخش‌های بالایی و پایینی آن رخ داده است. بیشتر گسل‌های منطقه از نوع امتدادلغز با مؤلفه جیزی شبکه‌ای هستند. این گسل‌ها، واحدهای سنگی یاد شده راقطع و گاه جایه‌جایی‌های در خور توجهی ایجاد کرده‌اند.

۳- روش پژوهش

این پژوهش بر پایه مشاهدات و برداشت‌های میدانی، بازنگری نقشه زمین‌شناسی در مقیاس ۱:۱۰۰۰۰۰ عباس آباد (خلعتبری جعفری، ۱۳۸۰) و نمونه‌برداری برای مطالعات آزمایشگاهی گوناگون استوار است. برای مطالعات سنگ‌نگاری و شناسایی مجموعه‌های دگرسانی، ۱۲۰ نمونه (۵۰٪ نمونه از مغزه‌های اکتشافی و ۷۰٪ نمونه سطحی) از سنگ‌های آتشفشنایی همراه با کانه‌زایی و بدون کانه‌زایی مطالعه شد. برای شناسایی کانی‌ها و پاراژنر آنها، ۷۰ نمونه (۵۰٪ نمونه از مغزه‌های اکتشافی و ۲۰٪ نمونه سطحی) انتخاب شد. برای شناسایی کانی‌ها، افزون بر سنگ‌نگاری، از فناوری‌های XRD در مرکز تحقیقات فراوری مواد معدنی ایران و طیف‌سنجی رامان (Raman Spectroscopy) در پژوهشکده لیزر دانشگاه شهید بهشتی استفاده شد. همچنین برای تعیین ترکیب شیمیایی کانی‌ها، از روش ریز تجزیه‌ای الکترون پرپو (Electron Probe Microanalysis; EPMA) در مرکز تحقیقات فراوری مواد معدنی ایران استفاده شد. تعداد نقاط بررسی شده در این روش ۶۵ نقطه است. برای آگاهی از ماهیت و ویژگی‌های فیزیکی-شیمیایی سیال‌های کانه‌ساز، ۱۴ نمونه دوربری‌سیقل تهیه و برای میانبارهای سیال مطالعه شد. این مطالعات با استفاده از میکروسکوپ ZEISS با صفحه Linkam THMS600 مدل در آزمایشگاه کانی‌شناسی مرکز تحقیقات فراوری مواد معدنی ایران صورت گرفت. دامنه دمایی این دستگاه ۱۹۶ تا +۶۰ درجه سانتی گراد است.

۴- زمین‌شیمی و خاستگاه سنگ‌های آتشفشنایی محدوده عباس آباد

بر پایه مطالعات پیشین (صالحی و همکاران، ۱۳۹۳)، سنگ‌های آتشفشنایی کمرنده آتشفشنایی-رسوبی عباس آباد در محدوده آندزیت، تراکی آندزیت، تراکی آندزیت-بازالت، تراکی بازالت و آلکالی بازالت قرار می‌گیرند. سرشت مگماهی این سنگ‌ها، شوشوونیتی و اوپرایتاسیک است و ویژگی‌های سنگ‌های آتشفشنایی کمان‌های قاره‌ای مرتبط با فرورانش را نشان می‌دهند (صالحی و همکاران، ۱۳۹۳).

۵- ویژگی‌های سنگ درونگیر

سنگ درونگیر در کانسار مس معدن بزرگ، واحد آتشفشنایی (E_6) با ترکیب تراکی آندزیت است (شکل‌های ۲ و ۳-الف). راستای این واحد در محدوده کانسار شمال خاوری-جنوب باختり و شبیه عمومی آن ۴۵ درجه به سوی جنوب خاور است؛ ستبرای این واحد از ۱۰ تا ۷۰ متر تغییر می‌کند. وجود یکانه‌سنگ‌هایی از ماسه‌سنگ و سنگ‌آهک در اندازه‌های مختلف در این واحد آتشفشنایی، نشان

کربناتی مس همچون ملاکیت و آزوریت از اکسایش کانی‌های سولفیدی مس تشکیل می‌شوند. همچنین، با افزایش فرایند سیلیسی شدن در بخش خاوری کانسار، کانی کربیزوکولا به وجود می‌آید. هماتیت و گوتیت در این مرحله، از دگرسانی کانی‌های آهن دارای جاد شده‌اند و گسترش بالایی دارد (شکل ۷).

۸- انواع دگرسانی

بر پایه مطالعات میکروسکوپی، نتایج تجزیه XRD و طیف‌سنگی رامان (جدول ۲) در محدوده معدنی عباس‌آباد، دو نوع دگرسانی گرمابی با ابعاد ناحیه‌ای و محلی دیده می‌شود. دگرسانی ناحیه‌ای با کانی‌های اپیدوت، کلریت، کلیست، کوارتز و آلتیت مشخص می‌شود که شاخص دگرسانی پروپیلیتیک است (Kojima et al., 2003). کانی‌های دگرسانی بیشتر به صورت جانشینی در کانی‌های اصلی سنگ‌های آتشفسانی و یا پرکننده حفرات و به میزان کمتر به صورت رگجه‌ای دیده می‌شوند. با هجوم سیال‌های گرمابی دارای کلسیم به سنگ‌های آتشفسانی، کانی‌های کلینوپیر و کسن به آمفیول‌های کلسیم‌دار ترمولیت-اکتینولیت تبدیل می‌شوند و پدیده اورالیتی شدن را ایجاد می‌کنند. در طی دگرسانی گرمابی و افزوده شدن آب به پلاژیوکلاز کلسیم‌دار، این کانی به اپیدوت، زئیزیت-کلینوپیر و آلتیت، کلیست، سریست و پرهنتیت تبدیل می‌شود (شکل ۸) که مجموعه سوریت را تشکیل می‌دهند (Gupta, 2007).

دگرسانی دوم، دگرسانی با گسترش محلی و مرتبط با کانه‌زایی مس است و تنها در سنگ‌های آتشفسانی کانه‌دار، دیده می‌شود و بیشتر با دگرسانی‌های کلسیمی، سیلیسی، سریستی، کلریتی، زئولیتی و هماتیتی مشخص می‌شود (شکل ۸). با ورود محلول‌های گرمابی، زمینه برای تغییرات شیمیایی-کانی‌شناسی و ایجاد دگرسانی محلی آمده می‌شود. عوامل زمین‌شناسی کنترل کننده این دگرسانی، ساختمان‌های اولیه و ثانویه مفید در سنگ درونگیر و واکنش‌پذیری این سنگ‌هاست. وجود حفرات بادامکی فراوان، درزه، شکستگی‌ها و گسل‌خوردگی‌های بسیار در ابعاد متغیر در سنگ درونگیر، زمینه را برای نفوذ‌پذیری و افزایش گسترش این سنگ‌ها برده است.

دگرسانی هماتیتی رابطه نزدیکی با کانه‌زایی مس دارد. این دگرسانی با سیال‌های اکسید کننده همراه است و در بیشتر موارد سبب تشکیل کانی‌هایی با سنتز $\text{Fe}^{3+}/\text{Fe}^{2+}$ بالا به ویژه هماتیت می‌شود که با فلدسپار پتاسمیم، سریست، کلریت و اپیدوت همراه است (Robb, 2005). در نتیجه هماتیت‌های تیغه‌ای همراه با تهنشست کانی‌های مس دار و به صورت اولیه تشکیل شده‌اند. افزون بر دگرسانی هماتیتی، دگرسانی کلسیمی و سیلیسی نیز رابطه تنگاتنگی با کانه‌زایی دارند و کانی‌های مس دار همراه با کلیست، کوارتز و کالسدونی دیده می‌شوند. شدت دگرسانی‌های محلی در سنگ‌های درونگیر با فاصله گرفتن از پهنه کانه‌دار کم می‌شود. دگرسانی‌های یاد شده، از شکستگی‌ها، درزه‌ها و سامانه‌های گسلی موجود پیروی می‌کنند. کانی‌های دگرسانی مرتبط با کانه‌زایی به صورت جانشینی، پرکننده حفرات، رگجه‌ای و رگه‌ای دیده می‌شوند.

۹- میانبارهای سیال

به منظور شناخت ماهیت فیزیکو‌شیمیایی سیال کانه‌ساز و بررسی تغییرات دمایی و شیمی آن در طی تشکیل کانسار، از رگه‌های کوارتز و کلیست همزمان با کانه‌ها، مقاطع دوبرصیقل تهیه شد. از این میان، مطالعه ریزدماسنجری رگه‌های کوارتز به دلیل ریز بودن بلورهای کوارتز و آمیختگی به اکسیدهای آهن میسر نشد و نتایج حاصل، تنها از مطالعه کانی کلیست به دست آمده است.

بیشتر میانبارهای مطالعه شده در کانی کلیست، بیضوی، کروی، دوکی و میله‌ای یا کشیده هستند (شکل ۹) و اندازه آنها از ۵ تا ۲۶ میکرون متغیر است. بیشتر این

آهن (wt% /۶۹)، نقره (wt% /۰/۴۴) و طلا (wt% /۰/۰۴) است (شکل ۵-الف). همچنین عناصر نقره و طلا در کانی بورنیت به ترتیب دارای میانگین (wt% /۰/۰۴) و (wt% /۰/۹۳) است (شکل ۵-ب). عیار محاسبه شده مس در کانسنگ معدن بزرگ به طور متوسط در حدود ۷/٪ و عیار نقره در این کانسنگ زیر ppm ۱ است (شرکت مهندسین مشاور پارسی کانکاو، ۱۳۹۲).

بلورهای وجه دار پیریت، منظره‌ای مختلخل با کانه‌های ستر و تیره دارند و در اثر دگرسانی به هماتیت و گوتیت تبدیل شده‌اند (شکل ۴-الف). برشی شدن پیریت و نفوذ سیال‌های مس دار در آن و تشکیل کانی‌های گروه کالکوست و بورنیت، از دیگر پدیده‌های دیده شده در این کانسار هستند (شکل ۶-الف، ب، پ). افزون بر این ویژگی‌ها، حضور بافت میرمیکیت که در نتیجه همرشدی کالکوست و بورنیت ایجاد شده است، در این کانسار دیده می‌شود (شکل ۶-ب). از کانی‌های سولفیدی غنی از مس، کالکوست و دیئنیت (شکل ۶-ت) با بیشترین فراوانی و کانی‌های ژورلیت (شکل ۶-ث) و آنلیت (شکل ۶-پ) به میزان کم حضور دارند. ژورلیت با فرمول Cu_3S_{16} و آنلیت با فرمول Cu_4S_4 در مرحله برونزاد، جانشین کالکوست می‌شوند (Kojima et al., 2003). رنگ ژورلیت، در نور بازتابی، آبی و تیره‌تر از کالکوست است و معمولاً به صورت وصله‌ای (patchy) در کالکوست ظاهر می‌شود (Cook et al., 2011). آنلیت نیز به رنگ خاکستری متمایل به آبی است. دیگر ویژگی‌های نوری ژورلیت و آنلیت، همانند کالکوست است. در نتیجه شناسایی این کانی‌ها از کالکوست، تنها با استفاده از خواص نوری، بسیار مشکل و در برخی مواقع غیر ممکن است؛ اما با استفاده از الکترون پرورب، به راحتی تشخیص داده می‌شوند. کوولیت (شکل ۶-ج) به صورت مجموعه‌های رشته‌ای یا در امتداد رخ کالکوست و یا به صورت حاشیه‌ای، جانشین کانی‌های گروه کالکوست شده است.

به طور کلی شرایط تشکیل و پایداری هر یک از کانی‌های گروه کالکوست بستگی به دما و فشار زمان تشکیل آنها دارد (Posfi & Buseck, 1994). کالکوست به ۳ شکل دمابالا، دمایپایین و فشاربالا یافت می‌شود. کالکوست دمایپایین در سامانه منوکلینیک متببور شده و در محدوده دمایی زیر ۱۰۳ درجه سانتی‌گراد پایدار است. این شکل از کالکوست در دماهای بالاتر از ۱۰۳ درجه سانتی‌گراد به چندشکلی دما بالای خود تبدیل می‌شود (Posfi & Buseck, 1994). کالکوست دمابالا در سامانه هگزاگونال متببور شده و محدوده پایداری آن در دمای میان ۱۰۳ تا ۴۳۵ درجه سانتی‌گراد است. این شکل از کالکوست، با کاهش دما به چندشکلی دما پایین تبدیل می‌شود (Gablina et al., 2006). کالکوست فشاربالا در فشارهای بالاتر از یک بار و در دمای بالاتر از ۵۰۰ درجه سانتی‌گراد پایدار است و در سامانه تراگونال ایجاد می‌شود. محدوده دمایی ژورلیت، پایین و زیر ۹۳ درجه سانتی‌گراد است (Howard & Evans, 1981). محدوده پایداری آنلیت از محدوده دمایی ژورلیت نیز پایین تر و حدود ۷۲ درجه سانتی‌گراد است. محدوده پایداری دیئنیت، دمای بالای ۸۳ درجه سانتی‌گراد است (Gablina et al., 2006).

بر پایه مطالعات میکروسکوپی و نتایج داده‌های EPMA دو مرحله تکوین و تشکیل برای این کانسار پیشنهاد می‌شود. اولین مرحله گرمابی برونزاد و دومین مرحله برونزاد است (شکل ۷). مرحله گرمابی برونزاد یا اولیه به دو زیر گروه آغازین و اصلی تقسیم می‌شود. زیر گروه آغازین با فرایند کانه‌زایی با تشکیل پیریت و به مقدار بسیار کم کالکوپیریت و آرسن‌پیریت شناسایی می‌شود. زیر رده اصلی، مهم‌ترین بخش کانه‌زایی به شمار می‌آید و شامل کانی‌های کالکوست، بورنیت و دیئنیت است. همچنین در این مرحله، هماتیت از دگرسانی پیریت مرحله آغازین به وجود می‌آید.

مرحله برونزاد یا غنی شدگی ثانویه با تشکیل ژورلیت و آنلیت به جای کالکوست و کوولیت به جای بورنیت و کالکوست دنبال می‌شود و هنگام اکسایش، کانی‌های

۱۰- نوع کانه‌زایی

بر پایه محیط زمین شناسی و بیژنگی‌های سنگ درونگیر، به ویژه زمین‌شیمی، ساخت و بافت و نیز نوع دگرسانی و بیژنگی‌های کانه‌زایی مانند پاراژنیت کانسنگ، نوع کانه‌ها و باطله‌های بافت و ساخت کانسنگ، دما و ژرفای تشکیل کانسنگ و شوری و چگالی سیال کانه‌ساز، کانسار مس معدن بزرگ، بیشترین همانندی را با کانسارهای مس نوع ماتو در شیلی و جاهای دیگر دارد (جدول ۳).

واژه "نوع ماتو" (Manto type) واژه‌ای است که اولین بار در شیلی (Ruiz et al., 1971) و برای ذخایر مس چینه کران با میزبان آتشفشنایی استفاده شده است. این ذخایر، در ناحیه کردیلرای ساحلی (Coastal Cordillera) و کردیلرای مرکزی (نواحی Talcuna و Uchumi)، کمریند فلزرازی مس مهمی را ایجاد می‌کنند (Kojima et al., 2008; Wilson & Zentilli, 2006). این نوع ذخایر مس، پس از کانسارهای مس پورفیری و کانسارهای IOCG، سومین ذخایر بزرگ مس در شیلی به شمار می‌آیند (Tristá-Aguilera et al., 2006). بیشتر این ذخایر دارای سن ژوراسیک تا کرتاسه هستند. در کانادا و شمال آمریکا نیز کانسارهای مس در سنگ‌های میزبان بازالتی یا آندزیتی، با عنایون کانسارهای مس بازالتی، مس کویناوی (Michigan)، میشیگان (Keweenaw)، طبقات سرخ آتشفشنایی (Lefebure & Church, 1996) و شاخه می‌شوند (Volcanic Red bed Cu) (Shepherd et al., 1985). البته تفاوت‌هایی میان ذخایر کانادا و آمریکا با ذخایر نوع ماتو شیلی وجود دارد (جدول ۳). ذخایر ماتو دارای عیار بالای مس (۱۵-۲٪) و محتوای نقره پایین (۵-۲۰ g/t) و در بیشتر موارد بدون طلا هستند (Boric et al., 2002). بیشتر این ذخایر، کوچک‌اند و تناثر پایینی دارند. بزرگ‌ترین ذخایر شناخته شده در شیلی، ال سولدادو (El Soldado) با حجم ۲۰۰ میلیون تن و ماتو بلانکو (Manto Blanco) با حجم ۱۲۰ میلیون تن است (Maksaev & Zentilli, 2002). سنگ درونگیر این ذخایر، سنگ‌های آتشفشنایی آندزیتی و بازالتی با ماهیت کالک‌آلکالن پتاویسیم بالا تا توله‌ایت به رنگ خاکستری تیره تا سبز است. این سنگ‌ها در محیط کششی مرتبط با فرورانش آند و حوضه‌های پشت کمانی تشکیل شده‌اند (Tristá-Aguilera et al., 2006; Oliveros et al., 2008). بافت چیره این سنگ‌ها، بافت پورفیریک، آفانتیک، بادامکی و برشی است (Oliveros et al., 2008). سنگ‌های میزبان این نوع کانسارها، بیشتر تحت تأثیر دگرسانی‌های پروپیلیتیک، سیلیسی، کلسیتی (Cisternas & Hermosilla, 2006) و آلبیتی (Maksaev & Zentilli, 2002) هستند. قرار دارند و کانی‌های معمول دگرسانی در این سنگ‌ها، کلسیت، کلریت، سریسیت، اپیدوت، هماتیت، کوارتز، زنولیت، پرنیت، اکتینولیت، آلبیت و اسمنکیت (Townley et al., 2007) است. کانه‌زایی پومپلیت، کانه‌زایی، اکتینولیت، آلبیت و اسمنکیت (Townley et al., 2007) است. کانه‌زایی اولیه مس ترجیحاً در بخش‌های خاص سنگ درونگیر مانند حفرات بادامکی و رگچه‌ها و به صورت پراکنده رخداده است (Kojima et al., 2003). کانی شناسی توده معدنی ساده و شامل کالکوسبیت، بورنیت \pm دیزینیت، کالکوپیریت و کوولیت است. میانگین دامنه تغییرات دمایی تشکیل این کانسارها از ۱۵۰ تا ۳۶۰ درجه سانتی‌گراد و دارای شرایط فشار پایین و نزدیک به منحنی جوشش است (Kojima et al., 2003). دامنه تغییرات شوری این کانسارها متغیر و از ۱/۵ تا ۱/۵ درصد و وزنی نمک طعام (Ramirez et al., 2006) (گزارش شده است. نزدیکی و همپوشانی آشکاری میان محدوده دما و شوری کانسار معدن بزرگ با محدوده کانسارهای ماتو شیلی وجود دارد (شکل ۱۳). شماری از کانسارهای نوع ماتو در ایران شناخته شده‌اند که می‌توان به کانسارهای ورزگ (علی‌زاده و همکاران، ۱۳۹۱)، قله بولاغ (بهزادی، ۱۳۷۳)، کشکویه (ابولی‌پور، ۱۳۹۱)، کشت مهکی (بویری کناری و همکاران، ۱۳۹۳) و شنوه (مهرابی و فاضلی، ۱۳۸۰) اشاره کرد.

میانبارها، اولیه هستند و به شکل منفرد یا در سطوح کریستالوگرافی کلیست میزبان دیده می‌شوند؛ فراوانی میانبارها در نمونه‌های مطالعه شده، به نسبت کم است. از دید نوع و نسبت فازها، میانبارها به سه گروه دوفازی غنی از مایع ($L \geq +V$)، دوفازی غنی از گاز ($V \geq L$) و تک‌فازی مایع (L) قابل تقسیم هستند (شکل ۹). از میان این ۳ دسته، میانبارهای دوفازی غنی از مایع، دارای بیشترین فراوانی هستند و همه اندازه‌گیری‌ها روی این میانبارها انجام شده است. ۹۰ تا ۷۵ درصد حجم این میانبارها را فاز مایع تشکیل می‌دهد و همگن شدگی در این میانبارها، به فاز مایع صورت می‌گیرد. دمای همگن شدگی میانبارهای دوفازی مطالعه شده میان ۹۰ تا ۲۶۸ درجه سانتی‌گراد متغیر است. از این میان، دماهای بین ۱۰۰ تا ۱۵۰ درجه سانتی‌گراد دارای بیشترین فراوانی هستند (شکل ۱۰-الف). میانگین دماهای اندازه‌گیری شده، ۱۷۶ درجه سانتی‌گراد و دامنه تغییرات شوری به دست آمده میان ۳/۳۸ تا ۲۱/۹۶ با میانگین ۱۳/۲۱ درصد وزنی نمک طعام است؛ بیشترین فراوانی مربوط به شوری‌های میان دو محدوده ۵ تا ۱۰ و ۱۵ تا ۲۰ درصد وزنی نمک طعام است (شکل ۱۰-ب).

به منظور تعیین ترکیب سیال، دمای یوتکنیک یا دمای اولیه ذوب یخ (Te) می‌تواند اطلاعاتی را درباره وجود کاتیون‌ها و آئینون‌ها در اختیار گذارد (Shepherd et al., 1985). دمای یوتکنیک در نمونه‌های مورد مطالعه، حدود ۵۲ درجه سانتی‌گراد است. در این حالت میانبارهای سیال از فازهای یخ، هیدروهالیت و مایع تشکیل شده‌اند. این دما منطقه بر نقطه یوتکنیک سامانه سه تایی $H_2O-NaCl-CaCl_2$ است (Shepherd et al., 1985) و می‌توان نتیجه گرفت که کاتیون‌های Na^+ و Ca^{2+} مهم‌ترین کاتیون‌های سازنده سیال به همراه کاتیون‌های جوشش و هستند.

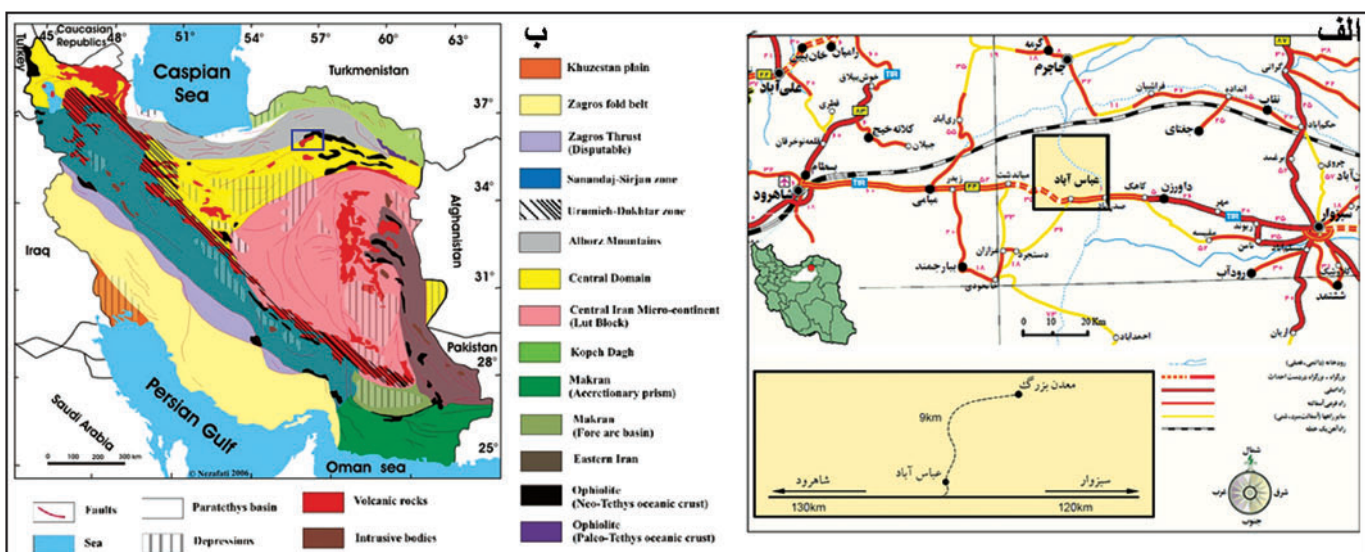
با توجه به روند تغییرات شوری نسبت به دمای همگن شدگی، چگالی سیال میان ۰/۸ تا ۱/۱ است (شکل ۱۱-الف). در این نمودار با افزایش شوری میانبارهای سیال، چگالی آن نیز افزایش می‌یابد. همچنین با مشاهده تغییرات شوری نسبت به دمای همگن شدگی (شکل ۱۱-ب) و مقایسه آن با نمودار ارائه شده توسط Wilkinson (2001)، داده‌ها در نزدیکی محدوده‌های جوشش و آمیختگی قرار می‌گیرند. هر دوی این فرایندها در تغییرات شوری مؤثر هستند (Wilkinson, 2001). فرایند جوشش، افزون بر تغییر در شوری سیال، در تغییرات دمای سیال نیز نقش دارد. از آنجایی که دمای همگن شدگی میانبارهای سیال مطالعه شده، تغییر نشان می‌دهد؛ می‌توان اولین و مهم‌ترین عامل تنشست ماده معدنی را فرایند جوشش عنوان کرد. وجود میانبارهای غنی از مایع در کنار میانبارهای شفاف (شکل ۹-ت)، فرایند جوشش در این کانسنگ تأیید می‌کند. از شواهد دیگر جوشش در این کانسنگ، می‌توان به وجود آدولاریا-کوارتز در پهنه کانه‌زایی، فراوانی کالسیدونی در پهنه کانه‌زایی، وجود برش‌های گرمابی (شکل ۳-پ) و وجود شبکه‌ای از کلیست تیغه‌ای به همراه کوارتز در پهنه کانه‌زایی اشاره کرد. از آنجا که فرایند جوشش در کانسارهایی با دامنه تغییرات گسترده شوری نمی‌تواند به تهیی اعمال تنشست ماده معدنی باشد (Oyarzun et al., 1998) و با توجه به دامنه تغییرات گسترده شوری در این کانسار، افزون بر فرایند جوشش، نقش آمیختگی سیال‌ها در تنشست فیزیکی کانی‌های معدنی، مهم است. در نمودارهای مربوط به دمای همگن شدگی و شوری سیال کانه‌زایی (شکل ۱۰-الف و ۱۱-الف) دو دستگی دیده می‌شود. یک دسته از داده‌ها دارای دمای بالاتر و شوری پایین تر و دسته دیگر دارای دمای پایین تر و شوری بالاتر هستند که می‌تواند نشان‌دهنده دو نوع سیال گرمابی باشد.

با استفاده از دمای همگن شدگی و شوری طبق نمودار (Haas, 1971) می‌توان از ژرفای تشکیل سیال‌ها و کانی‌سازی وجود دارد. بر این اساس، ژرفای به دام افتادن میانبارهای سیال کانسار معدن بزرگ کمتر از ۲۰۰ متر است (شکل ۱۲-الف). به منظور تعیین فشار از نمودار (Ramdohr, 1980) استفاده شده است. فشار حاکم در طی تشکیل سیال‌ها کمتر از ۵۰ بار بوده است (شکل ۱۲-ب).

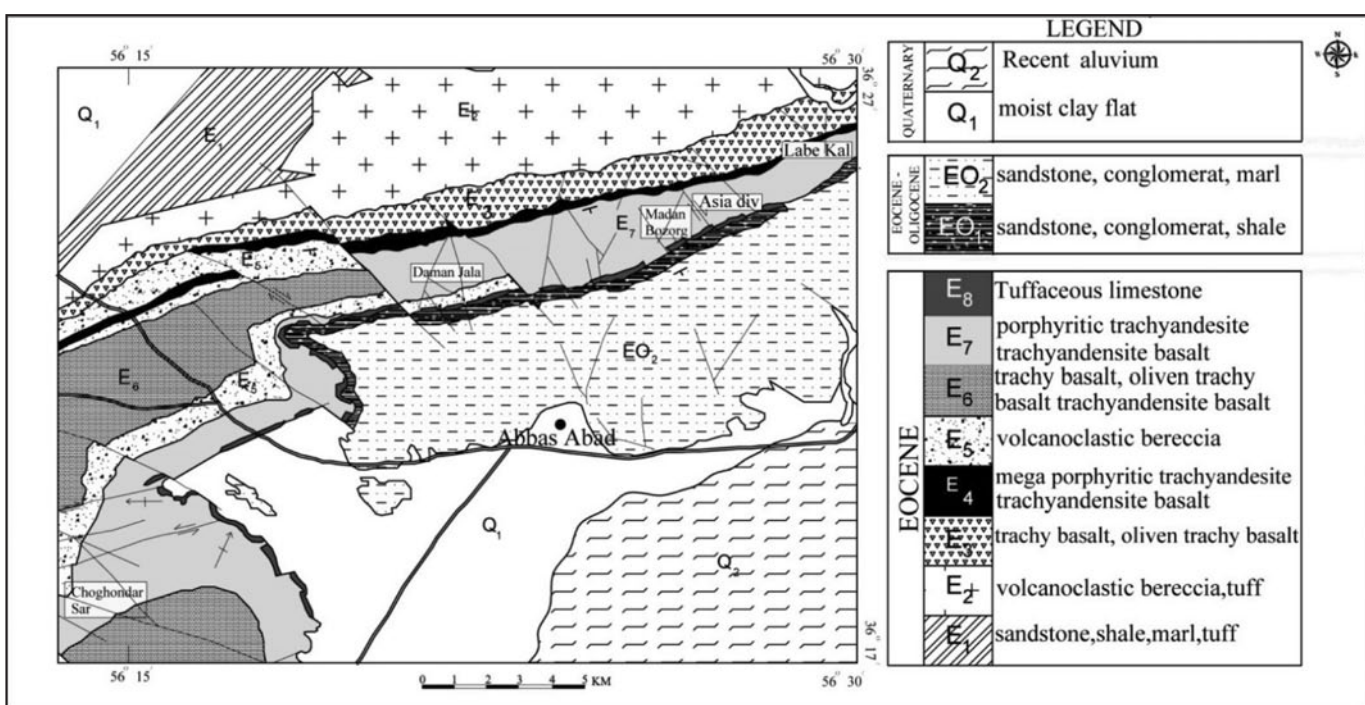
۱۱- فیجنه‌گیری

فضای خالی است. در تشکیل این کانسار، دو مرحله گرمابی اولیه و مرحله غنی‌شدگی ثانویه و اکسایش دخالت داشته‌اند. با توجه به مطالعات میانبارهای سیال، کانسار معدن بزرگ از نوع کانسارهای دماپایین و شوری کم تا متوسط است. مهم‌ترین عامل تهنشت کانسنگ مس، فرایند جوشش به همراه آمیختگی سیال‌هاست. عوامل زمین‌شناسی همچون وجود حفرات بادامکی فراوان، درزه و شکستگی و گسل خودگردگی‌های بسیار در سنگ درونگیر، سبب رخداد دگرسانی محلی شده است. ژرفای به دام افتادن سیال‌ها در این کانسار کمتر از ۲۰۰ متر و فشار کمتر از ۵۰ بار در تشکیل آن مؤثر بوده است. این کانسار، با توجه به همانندی‌های زمین‌ساختی، سنگ‌شناسی، دگرسانی و کانه‌زایی، قابل مقایسه با ذخایر مانتو در شیلی است.

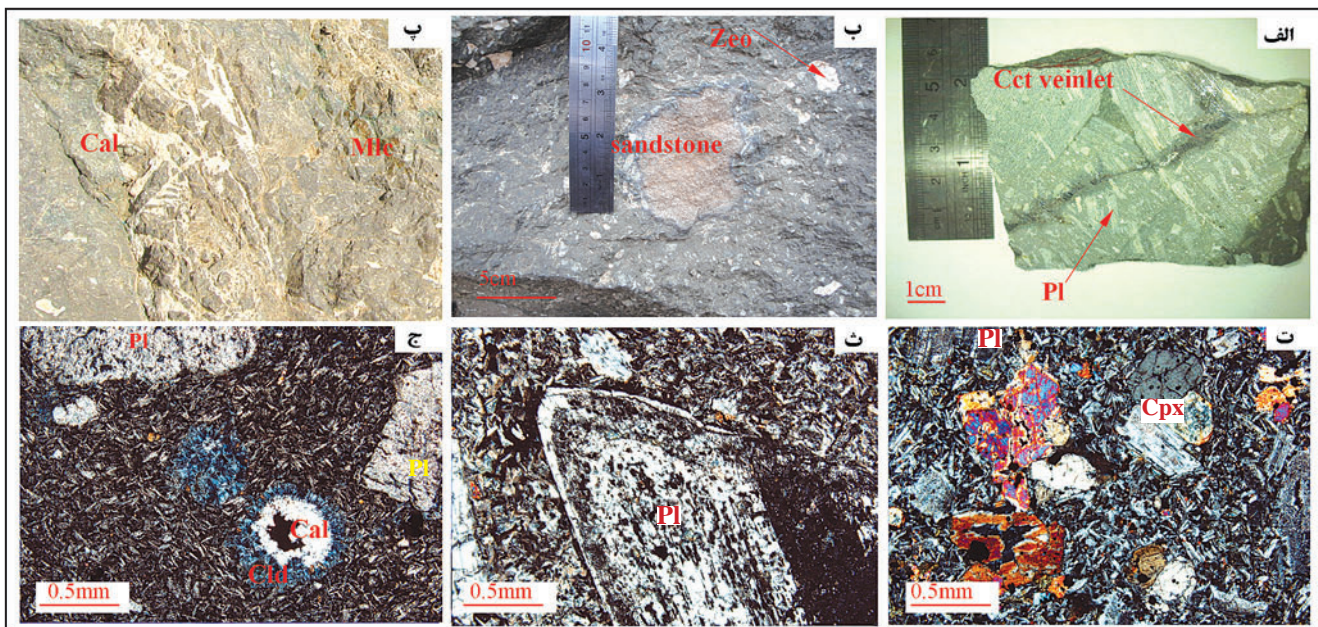
سنگ‌های آتش‌نشانی تراکی آندزیتی، سنگ درونگیر کانسار معدن بزرگ است. این سنگ‌ها، دو نوع دگرسانی ناحیه‌ای و دگرسانی محلی مرتبط با کانه‌زایی مس را تحمل کرده‌اند. دگرسانی پروپیلیتیک، شاخص دگرسانی ناحیه‌ای و دگرسانی‌های سیلیسی، کلسیتی، هماتیتی، سریسیتی و کلریتی نشان‌دهنده دگرسانی محلی مرتبط با کانه‌زایی مس است. کانه‌زایی در این سنگ‌ها، درونزad و چینه کران و دارای پاراژنر ساده کالکوسیت، بورنیت، پیریت، هماتیت و کوولیت است. کانی‌های گروه کالکوسیت کانی‌هایمعدنی اصلی در این کانسار است. کوولیت، مالاکیت، آزوریت، کریزوکلاو و گوتیت از جمله کانی‌های ثانویه و کوارتز، کلریت، اپیدوت، کلسیت و کالسدونی، کانی‌های غیرفلزی این کانسار است. بافت ماده معدنی، رگه-رگچه‌ای، پراکنده، داربستی، پرکنده، جانشینی و پرکنده



شکل ۱- (الف) موقعیت جغرافیایی و راه دسترسی به کانسار مس معدن بزرگ؛ (ب) نقشه زمین ساخت ایران (Alavi, 1991). محدوده معدنی عباس آباد با مستطیل آبی نمایش داده شده است.



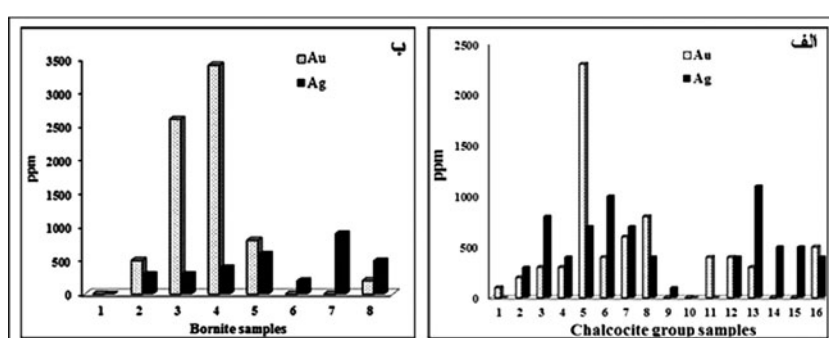
شکل ۲- نقشه زمین‌شناسی محدوده معدنی عباس آباد و موقعیت کانسارهای موجود در آن (برگرفته از خلعتبری جعفری، ۱۳۸۰).



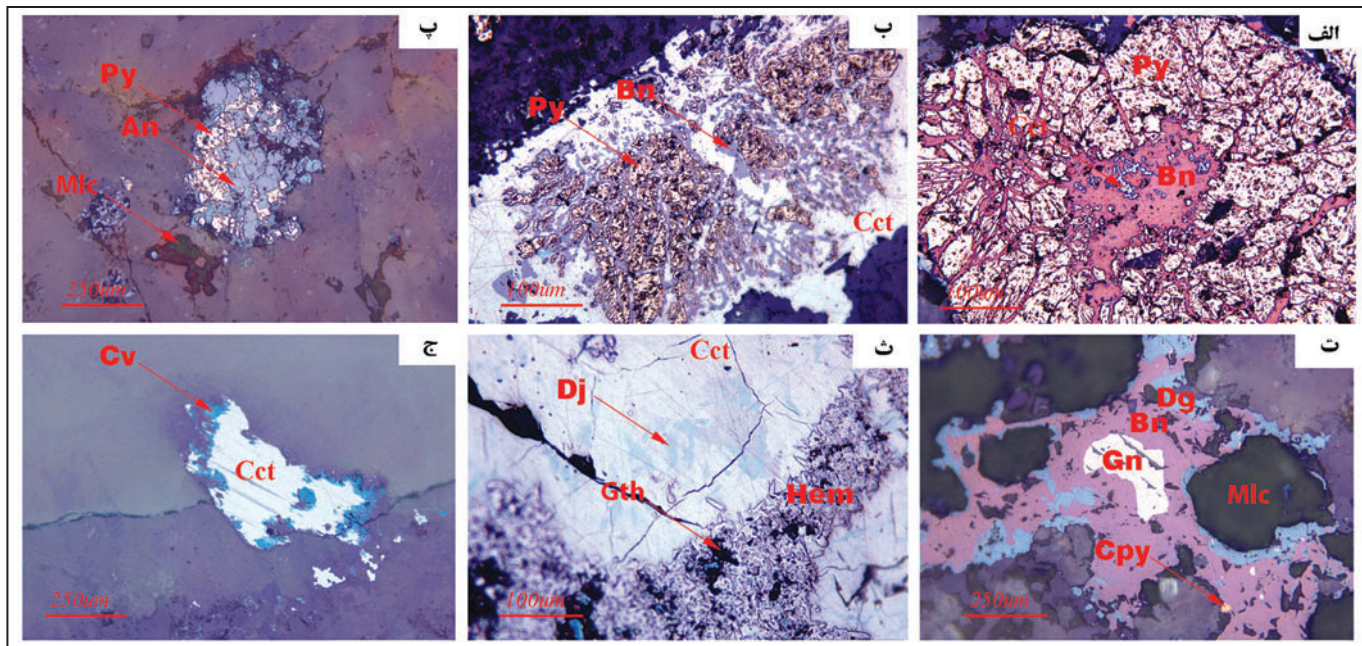
شکل ۳- تصاویری از واحد آتشفسانی با ترکیب آندزیت- تراکی آندزیت- تراکی آندزیت با پلازیو کلازهای درشت سفید رنگ با ساخت جریانی. رگچه ظریف کالکوستی با زنگ دودی مگاپلازیو کلازها را قطع کرده است؛ ب) وجود زنولیت ماسه سنگی با هاله واکنشی آشکار در سنگ آتشفسانی با ساخت بادامکی (پرشده با زنولیت)؛ ب) برشی شدن سنگ درونگیر ماده معدنی همراه با سیمان کلیستی؛ ت) اجتماع بلورهای درشت کلینوپیرو کسن در زمینه میکرولیتی (بافت گلومروپورفیری)؛ ث) مگاپلازیو کلاز با بافت غربالی و منطقه بندی ترکیبی در زمینه میکرولیتی؛ ج) حفره پرشده با کالسدونی، کلسیت و زوئیزیت (بافت بادامکی). نشانه‌های اختصاری کانی‌ها عبارتست از (Whitney & Evans, 2010): Cct: کالکوستی؛ Pl: پلازیو کلاز؛ Zeo: زنولیت؛ Mlc: مالاکیت؛ Cpx: کلینوپیرو کسن؛ Cal: کلسیت؛ Cld: کالسدونی.



شکل ۴- تصاویری از بافت و ساخت ماده معدنی. (الف) بلورهای خودشکل پیریت با بافت دانه پراکنده (نور PPL)؛ ب) ساخت داریستی کالکوستی در سنگ درونگیر؛ ب) قطع شدن مگاپلازیو کلاز توسط رگچه‌هایی از کالکوستی (نور XPL). Cct: کالکوستی؛ Py: پیریت؛ Pl: پلازیو کلاز؛ Bn: بورنیت.



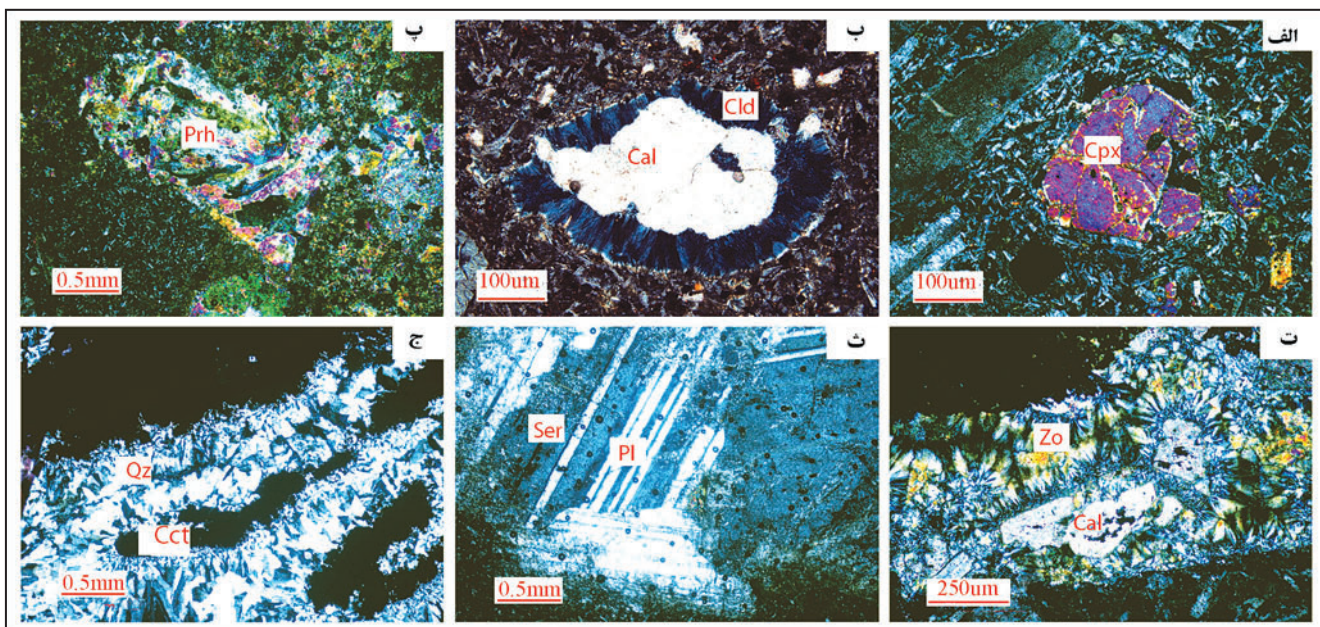
شکل ۵- الف) میانگین مقدار عناصر طلا و نقره در کانی‌های گروه کالکوستی؛ ب) میانگین مقدار عناصر طلا و نقره در بورنیت.



شکل ۶- تصاویر میکروسکوپی از نمونه‌های کانسینگ در نور پلاریزه مسطح (نور PPL). (الف) برشی شدن پیریت و ورود محلول‌های دارای مس و تشکیل بورنیت و کالکوسیت در شکستگی‌ها و درزه‌های ایجاد شده؛ (ب) جانشینی پیشرفته پیریت توسط بورنیت و کالکوسیت. پیریت تنها به صورت جزیره‌هایی در بخش میانی باقی مانده است. در این تصویر، درهم‌رشدی میرمیکیتی کالکوسیت و بورنیت به خوبی دیده می‌شود؛ (پ) آنیلیت (خاکستری با ته رنگ آبی) به همراه پیریت و مالاکیت؛ (ت) درهم‌رشدی دیپنیت و بورنیت به همراه گالان و تکه کوچکی از کالکوپیریت و جانشینی حاشیه‌ای مالاکیت به جای دیپنیت و بورنیت؛ (ث) جانشینی ژورلیت (آبی تیره‌تر از زمینه) به صورت وصله‌ای (Patchy) به جای کالکوسیت (کانی آبی زمینه) و تیغه‌های هماتیت به همراه گوئیت؛ (ج) تبدیل کالکوسیت به کوولیت. Py: پیریت؛ Bn: بورنیت؛ Cct: کالکوسیت؛ Dg: دیپنیت؛ An: آنیلیت؛ Mlc: مالاکیت؛ Gn: گالان؛ Cpy: کالکوپیریت؛ Dj: ژورلیت؛ Hem: هماتیت؛ Cv: کوولیت؛ Gth: گوئیت.

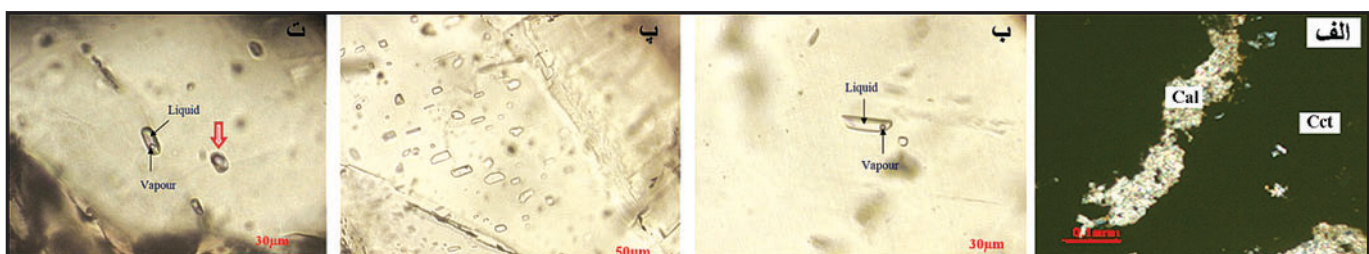
Mineral	Primary Hydrothermal Stage		Secondary Enrichment & Oxidation Stage
	Early Substage	Main substage	
Sericite		---	
Epidote	---	---	
Chlorite	---	---	
Quartz	-----	-----	
Calcite	-----	-----	-----
Gypsum			
Prehnite	---	---	
Zeolite	---	---	
Pyrite	----	----	
Chalcopyrite		-----	
Arsenopyrite		-----	
Bornite	----	----	-----
Chalcocite	----	----	-----
Digenite	----	----	-----
Anilite		-----	
Djurleite		-----	
Native Copper		-----	
Galena		-----	
Covellite		-----	
Malachite		-----	
Azurite		-----	
Hematite		-----	
Chrysocolla		-----	
Goethite		-----	

شکل ۷- توالی پاراژنزی کانی‌ها در کانسینگ مس معدن بزرگ.

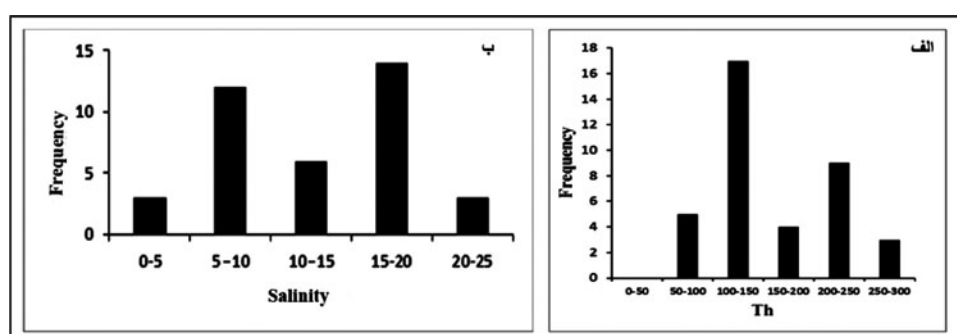


شکل ۸- تصاویر میکروسکوپی (نور XPL) از دگرسانی های ناجیهای و محلی سنگ های آتششناختی محدوده عباس آباد. (الف) پدیده اورالیتی شدن درشت بلور پیروکسن و تبدیل آن به آمفیبول کلیسیم دار (ترمولیت)؛ ب) تشکیل کلسیت و کالسدونی در حفرات بادامکی سنگ درونگیر و ایجاد بافت بادامکی؛ ب) تشکیل پرهنیت در اثر دگرسانی پلاژیو کلازهای سنگ؛ ت) دگرسانی کانی های فرومینزین و تشکیل کلریت آهن دار به همراه کلسیت در حفرات بادامکی سنگ آتششناختی؛ ث) سریسیتی شدن درشت بلور پلاژیو کلاز؛ ج) سیلیسی شدن سنگ درونگیر و افزایش این فرایند در حفرات بادامکی سنگ و ایجاد بافت و ساخت دروزی با ماده معدنی؛ ز) کوارتز؛ QZ: کلسیت؛ Cal: سریسیت؛ Zo: زوئیزیت و کلینوزوئیزیت؛ Pl: پرهنیت؛ Prh: پیروکسن و کالکوسیت؛ Cct: کاسیت؛ Cld: کالسدونی؛

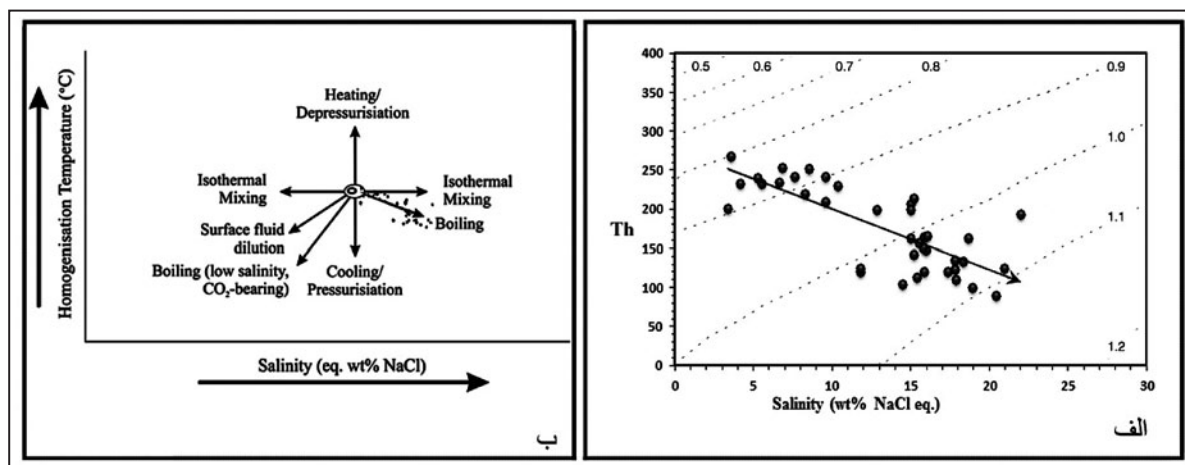
Cpx



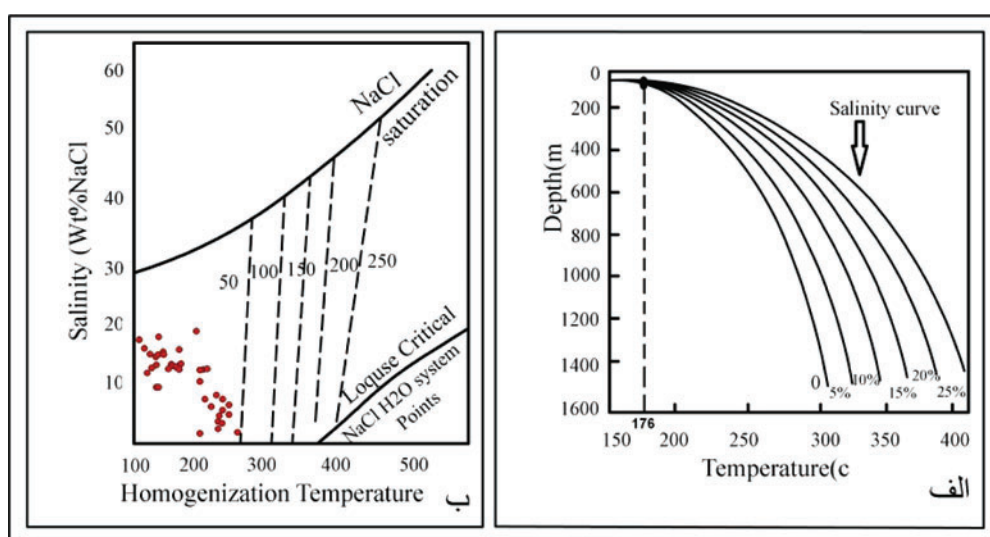
شکل ۹- تصاویر میکروسکوپی از میانبارهای سیال با کانی میزبان کلسیت. (الف) کلسیت نسل اول همراه با رگچه کالکوسیت (نور XPL)؛ ب) میانبار اولیه با شکل مبله ای و دوفاز غنی از مایع و حباب کوچک گاز بزرگنمایی ۵۰۰؛ ب) میانبارهای ثانویه با اشکال بیضوی، مبله ای و نامنظم با دوفاز مایع- بخار و یا تک فازی مایع به صورت صفحه ای بزرگنمایی ۸۰۰ برابر؛ ت) میانبار اولیه دوفازی غنی از مایع در کنار میانبارهای دوفازی غنی از بخار.



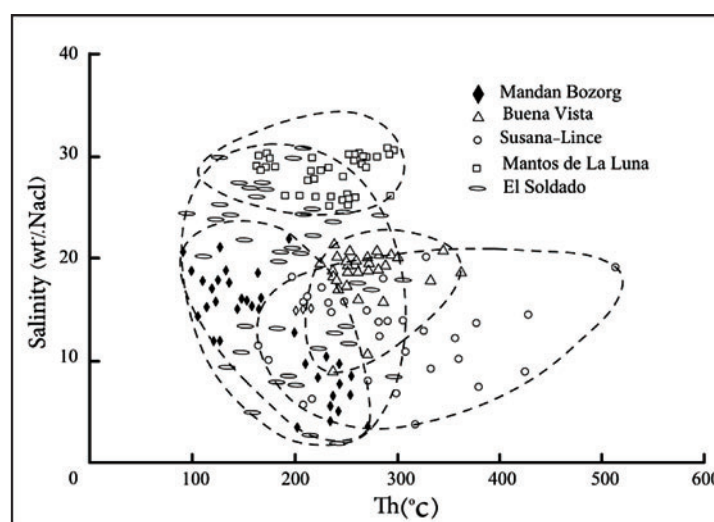
شکل ۱۰- (الف) نمودار ستونی (هیستوگرام) فراوانی دمای همگن شدگی میانبارهای سیال نمونه های کانسار معدن بزرگ؛ ب) نمودار ستونی فراوانی درصد شوری میانبارهای سیال نمونه های کانسار معدن بزرگ.



شکل ۱۱- (الف) نمودار تعیین چگالی سیال کانی‌ساز (Wilkinson, 2001); (ب) نمودار شوری در برابر دمای همگن شدگی (Wilkinson, 2001). داده‌ها فرایند جوشش را در ته نشست کانسنگ نشان می‌دهند.



شکل ۱۲- (الف) داده‌های میانبارهای سیال در کانسار معدن بزرگ روی نمودار ژرفای به دام افتادن میانبارهای سیال (Haas, 1971); (ب) تعیین فشار سیال بر پایه دمای همگن شدگی و شوری در نمودار (Ramdohr, 1980).



شکل ۱۳- محدوده دما و شوری میانبارهای سیال در کانسار معدن بزرگ و مقایسه آن با داده‌های دما و شوری چند کانسار مس تیپ مانتو در شیلی (Boric et al., 2002; Kojima et al., 2003 & 2008).

جدول ۱- نتایج تجزیه الکترون میکروپروروب بورنیت و کانی‌های گروه کالکوسبیت (نتایج بر حسب درصد وزنی Wt.% است).

Mineral	Sample	Depth (m)		Cu	S	Fe	Au	Ag	Sb	As	Ni	Co
Digenite	63S34	34	N = 3	Mean	78.95	21.23	0.07	0.015	0.015	0.005	0.03	0.01
				Max.	79.41	21.32	0.09	0.02	0.03	0.01	0.06	0.02
				Min.	78.49	21.13	0.05	0.01	0	0	0	0.01
Anilite	62S7	7	N = 6	Mean	77.16	21.94	1.505	0.078	0.066	0	0.013	0
				Max.	77.48	23.22	2.47	0.23	0.1	0	0.05	0
				Min.	76.37	20.7	0.51	0.03	0.04	0	0	0
Chalcocite	63S25	25	N = 6	Mean	79.27	20.9	0.438	0.018	0.038	-	0.018	0.01
				Max.	80.02	21.22	1.2	0.04	0.11	-	0.05	0.02
				Min.	78.85	20.64	0.01	0	0	-	0	0
Djurleite	30S3	3	N = 4	Mean	78.93	21.403	0.007	0.023	0.04	0.01	0.006	0.006
				Max.	79.15	21.66	0.01	0.05	0.05	0.02	0.02	0.01
				Min.	78.55	21.2	0	0	0.03	0	0	0
Bornite	60S26	26	N = 8	Mean	62.65	26.46	11.133	0.094	0.04	-	0.019	0.004
				Max.	63.34	27.22	11.66	0.34	0.09	-	0.04	0.01
				Min.	61.04	26.07	10.8	0	0	-	0	-

جدول ۲- نتایج تجزیه نمونه‌ها با روش XRD و Raman spectroscopy

Sample No.	Analysis method	Longitude (E)	Latitude (N)	Elevation	Results
MB43	XRD	56° 26' 33"	36° 24' 51"	980	Quartz, Malachite, Clinochlore
MB51	XRD	56° 26' 31"	36° 24' 51"	987	Quartz, Clinochlore, Malachite, Geothite
MB38	XRD	56° 26' 34"	36° 24' 53"	956	Calcite, Clinochlore, Albite, Chalcocite
MB74	XRD	56° 26' 35"	36° 24' 52"	973	Quartz, Calcite, Epidote, Clinochlore
MB12	XRD	56° 26' 12"	36° 24' 42"	947	Quartz, Calcite, Hematite, Chalcocite
MB24	XRD	56° 26' 15"	36° 24' 42"	963	Natrolite, Mesolite, Analcime
MB35	XRD	56° 26' 16"	36° 24' 43"	968	Natrolite, Mesolite, Calcite
MB61	XRD	56° 26' 20"	36° 24' 46"	977	Calcite, Malachite, Quartz
MB63	XRD	56° 26' 30"	36° 24' 50"	976	Prehnite, Quartz, Hematite, Calcite
MB31	XRD	56° 26' 13"	36° 24' 45"	954	Calcite, Quartz, Albite
MB63	Raman S.	56° 26' 30"	36° 24' 50"	976	Prehnite, Quartz, Calcite
CM44	Raman S.	56° 26' 13"	36° 24' 50"	988	Zeolite, Quartz
CM57	Raman S.	56° 26' 31"	36° 24' 50"	952	Calcite, Hematite
MB10	Raman S.	56° 26' 36"	36° 24' 53"	947	Quartz, Calcite, Hematite

جدول ۳- مقایسه کانسار معدن بزرگ با کانسارهای نوع مانتو، لایه‌های سرخ آتشفشنایی و میشیگان.

کانسارهای نوع میشیگان یا گویناوی	کانسارهای مس طبقات سرخ آتشفشنایی	کانسارهای مس مانتو	کانسار معدن بزرگ	ویژگی‌های کانه‌زایی
کافت نیمه‌قاره‌ای	کافت درون قاره‌ای و تزدیکی حواشی صفحات	محیط کششی مرتبط با فروزانش آند و حوضه‌های پشت کمانی	کمان قاره‌ای فروزانشی	محیط زمین‌ساختی
سنگ همراه: ماسه سنگ، کنگلومرا با زالت توله‌ایت جریانی	گدرازهای بازالتی بادامکی، سنگ‌های آذرآواری درشت و برشی سنگ همراه: توف، سیلیستون، ماسه سنگ و کنگلومرا	سنگ‌های آتشفشنایی آندزیتی و بازالتی با ماهیت کالک‌آلکان پتانسیم بالا تا توله‌ایتی سنگ همراه: شیل، سیلیستون، ماسه سنگ، سنگ آهک، توف ± سنگ‌های نفوذی (گایپرو تا گرانو دیوریتی)	سنگ درونگیر: سنگ‌های آتشفشنایی تراکی آندزیتی با ماهیت شوشوینیتی (معدودی کالک‌آلکان پتانسیم بالا) سنگ همراه: سنگ آهک فیلی دار، شیل توفی، ماسه سنگ توفی و کنگلومرا	سنگ درونگیر و همراه
پر کامبرین	پروتروزوییک تا ترشیر	ژوراسیک پایانی تا کرتاسه آغازین	انوسن	سن سنگ درونگیر
پیشتر بدون دگرسانی مرتبط با کانه‌زایی اما دگرسانی آلیتی، کلسیتی، کلریتی، اپیدوتی، پرهیت پومیلت، سیلیسی در دیواره سنگ درونگیر دیده می‌شود.	پیشتر بدون دگرسانی مرتبط با کانه‌زایی و پیشتر با دگر گونی پرهیت - پومیلتیک، سیلیسی، کلسیتی، هماتیتی	پروپیلیتیک، سیلیسی، کلسیتی، هماتیتی	دگرسانی	

کانسارهای نوع میشیگان یا کویناوی	کانسارهای مس طبقات سرخ آتشفسانی	کانسارهای مس مانتو	کانسار معدن بزرگ	ویژگی‌های کانه‌زایی
حفره‌دار و بادامکی	بادامکی، برشی	پورفیری، آفانتیک، بادامکی و برشی	پورفیری، مگاپورفیری، بادامکی، گلومروپورفیری و برشی	ساخت و بافت سنگ درونگیر
درونزاد	درونزاد	درونزاد	درونزاد	نوع کانه‌زایی
مس طبیعی، نقره طبیعی ± کالکوکسیت ± دیپزیت ± مالاکیت و آزوریت	مس طبیعی، کالکوکسیت، بورنیت، دیپزیت، ژولیت، نقره طبیعی، گرینوکیت، سولفید آهن بهویزه پیریت	کالکوکسیت، دیپزیت، بورنیت، کالکوپیریت، کوولیت	کانی‌های گروه کالکوکسیت (با قالب بودن کالکوکسیت و دیپزیت)، بورنیت، کوولیت	کانی‌های معدنی
کوارتز، کلریت، اپیدوت، کلسیت و زئولیت به مقدار کم	هماتیت، مگنتیت، کلسیت، اپیدوت، کوارتز، کلریت و زئولیت	کوارتز، کلریت، اپیدوت، کلسیت و زئولیت	کوارتز، کلریت، اپیدوت، کلسیت، کالسدونی و زئولیت	کانی‌های باطله
افشان دانه‌ریز، پرکنده فضای خالی و توده‌ای	پرآکنده، پرکنده فضای خالی، رگه‌ای و در برخی موقع جاشینی	پرآکنده، رگه-رگه‌ای، پرکنده فضای خالی و بادامکی	پرآکنده، رگه-رگه‌ای، پرکنده فضای خالی و بادامکی	بافت و ساخت توده معدنی
کم وجود ندارد	کم وجود ندارد	در بیشتر موارد کم وجود ندارد	کم وجود ندارد	غذی‌سازی برونزاد
White Pine (Brown, 1971; Swenson & person, 2000); Copper Falls mine (Larson et al., 2003); Houghton County (Rosemeyer, 2011)	Mont Alexandre (Cabral & Beaudoin, 2007); Hinds Lake area (Case & Zagorevski, 2009)	Mantos Blancos (Oliveros et al., 2008), Lince-Estefanía (Tristá-Aguilera et al., 2006)	-	نموفه

کتابنگاری

- ابولی پور، م.، ۱۳۹۱- زمین‌شناسی، کانی‌شناسی، ژئوشیمی و ژئر کانه‌زایی مس چینه‌کران در سنگ‌های آتشفسانی- رسوبی اثوسن در منطقه کشکویه، باختر رفسنجان، پایان نامه کارشناسی ارشد زمین‌شناسی اقتصادی، دانشگاه تربیت مدرس، ۳۰۱ ص.
- بویری کناری، م.، راستاد، ا. و رشدینژاد عمران، ن.، ۱۳۹۳- کانه‌زایی مس (نقره) نوع "Volcanic Red Bed" در کانسار کشت مهکی، شمال باختر صفاشهر، پهنه سندنج- سیرجان جنوبی، فصلنامه علوم زمین، شماره ۹۳، صص ۱۹ تا ۳۶.
- بهزادی، م.، ۱۳۷۳- بررسی زمین‌شناسی اقتصادی اندیس مس قبله بولاغ واقع در منطقه طارم سفلی- استان زنجان، پایان نامه کارشناسی ارشد زمین‌شناسی اقتصادی، دانشکده علوم زمین، دانشگاه شهید بهشتی.
- خلعتبری جعفری، م.، ۱۳۸۰- نقشه زمین‌شناسی ۱:۱۰۰۰۰۰ عباس‌آباد، انتشارات سازمان زمین‌شناسی کشور.
- سامانی، ب.، ۱۳۸۶- گزارش زمین‌شناسی معدنی- اقتصادی منابع کانسنگ مس در میدان معدنی عباس‌آباد (شهرستان شاهرود)، شرکت زمین‌شناسی و اکتشاف نازیل شرق، ۲۰۶ ص.
- شرکت مهندسین مشاور پارسی کان کاو، ۱۳۹۲- گزارش نهایی اکتشافات عمومی، تفصیلی و تکمیلی معدن مس عباس‌آباد، ۲۷۶ ص.
- صالحی، ل.، رسا، ا.، علیرضاei، س. و کاظمی مهرنیا، ا.، ۱۳۹۳- پتروگرافی، ژئوشیمی و پتروژئر سنگ‌های آتشفسانی عباس‌آباد (شرق شاهرود) با تأکید بر دگرگانی و کانه‌زایی مس همراه آن، فصلنامه زمین‌شناسی ایران، شماره ۳۱، صص ۴۹ تا ۶۳.
- علیزاده، و.، مؤمن‌زاده، م. و امامی، م.، ۱۳۹۱- سنگنگاری، ژئوشیمی، کانی‌شناسی، مطالعه میانبارهای سیال و تعیین نوع کانه‌زایی کانسار مس ورزگ- قاین، فصلنامه علوم زمین، شماره ۸۶ صص ۴۸ تا ۵۸.
- علی‌نیا، ف. و دهقان‌نژاد، م.، ۱۳۸۳- مطالعات زمین‌شناسی اقتصادی ژئوشیمیایی معدن مس عباس‌آباد شاهرود و برآورد پتانسیل معدنی آنها، کنفرانس مهندسی معدن ایران.
- لطفی، م. و نوروزی، ر.، ۱۳۸۰- مروری بر زایش کانسارهای مس و ویژگی‌های ژئودینامیکی آنها در منطقه عباس‌آباد استان سمنان، چکیده مقالات بیستمین گردهمایی علوم زمین.
- مهرابی، ب. و فاضلی، آ.، ۱۳۸۰- بررسی تیپ کانی سازی مس در کانسار وشنوه (جنوب استان قم)، بیستمین گردهمایی علوم زمین.

References

- Alavi, M., 1991- Tectonic map of the Middle East. Geological Survey of Iran. Tehran.
- Boric, R., Holmgren, C., Wilson, N. S. F. & Zentilli, M., 2002- The Geology of the El Soldado Manto Type Cu (Ag) Deposit, Central Chile. In Porter, T.M. (Ed.), Hydrothermal Iron Oxide Copper-Gold & Related Deposits: A Global Perspective, V.2, PGC Publishing, Adelaide 163-184.
- BRGM Company, 2005- Review of Abbas Abad copper project: Islamic republic of Iran 53pp.

- Brown, A. C., 1971- Zoning in the White Pine copper deposit, Ontonagon County, Michigan. *Economic Geology* 66 (4): 543-573.
- Cabral, A. R. & Beaudoin, G., 2007- Volcanic red-bed copper mineralization related to submarine basalt alteration, Mont Alexandre, Quebec Appalachians, Canada. *Miner Deposita* 42: 901–912.
- Case, G. & Zagorevski, A., 2009- Volcanic redbed copper mineralization in the Hinds Lake area, central Newfoundland, Geological survey report. 09-1: 131- 146.
- Cisternas, M. E. & Hermosilla, J., 2006- The role of bitumen in strata-bound copper deposit formation in the Copiapo area, Northern Chile. *Miner Deposita* 41: 339–355.
- Cook, N. J., Ciobanu, C. L., Danyushevsky, L. V. & Gilbert, S., 2011- Minor and trace elements in bornite and associated Cu- (Fe)-sulfides: A LA-ICP-MS study, *Geochimica et Cosmochimica Acta* 75: 6473- 6496.
- Gablina, I. F., Stepanova, T. A. & Gor'kova, N. V., 2006- Diagenetic Alterations of Copper Sulfides in Modern Ore-Bearing Sediments of the Logatchev-1 Hydrothermal Field (Mid-Atlantic Ridge 14 ° 45 - N): *Lithology and Mineral Resources*, 41(1): 27–44.
- Gupta, A. K., 2007- Petrology and Genesis of Igneous Rocks, Narosa Publishing House, India, 479 pp.
- Haas, J. I., 1971- The effect of salinity on the maximum thermal gradient of a hydrothermal system at hydrostatic pressure. *Economic Geology* 66: 940-946.
- Howard, T. & Evans, J. R., 1981- Copper coordination in low chalcocite and djurleite and other copper-rich sulfides. *American Mineralogist* 66: 807-818.
- Kojima, S., Astudillo, J., Rojo, J., Trista', D. & Hayashi, K., 2003- Ore mineralogy, fluid inclusion, and stable isotopic characteristics of stratiform copper deposits in the coastal Cordillera of northern Chile. *Mineralium Deposita* 38: 208–216.
- Kojima, S., Trista-Aguilera, D. & Hayashi, K., 2008- Genetic Aspects of the Manto-type Copper Deposits Based on Geochemical Studies of North Chilean Deposits. *Resource Geology* 59(1): 87 – 98.
- Larson, P. B., Maher, k., Ramos, F.C., Chang, Z., Gaspar, M. & Meinert, L.D., 2003- Copper isotope ratios in magmatic and hydrothermal ore-forming environments. *Chemical Geology* 201: 337– 350.
- Lefebure, D. V. & Church, B. N., 1996- Volcanic Redbed Cu, in Selected British Columbia Mineral Deposit Profiles, Volume 1 - Metallic Deposits, Lefebure, D. V. & Höy, T, Editors, British Columbia Ministry of Employment and Investment, Open File 13: 5-7.
- Maksaev, V. & Zentilli, M., 2002- Chilean Strata-bound Cu-(Ag) Deposits: An Overview; in Porter, T.M. (Ed.), *Hydrothermal Iron Oxide Copper-Gold & Related Deposits: A Global Perspective*, PGC Publishing, Adelaide 2:185-205.
- Oliveros, V., Féraud, G., Aguirre, L., Ramírez, L., Fornari, M., Palacios, C. & Parada, M., 2008- Detailed $^{40}\text{Ar}/^{39}\text{Ar}$ dating of geologic events associated with the Mantos Blancos copper deposit, northern Chile. *Miner Deposita* 43: 281–293.
- Oyarzun, R., Ortega, L., Sierra, J., Lunar, R. & Oyarzun, J., 1998- Cu, Mn, and Ag mineralization in the Quebrada Marquesa Quadrangle, Chile: the Talcuna and Arqueros districts, *Mineralium Deposita* 33: 547-559.
- Posfai, M. & Buseck, P. R., 1994- Djurleite, digenite, and chalcocite: Intergrowths and transformations. *American Mineralogist* 79: 308- 315.
- Ramdohr, P., 1980- The Ore Minerals and Their Intergrowths, Sec. Edition, English translation of the 4th. Edition. Two valumes, pergammon press, 1205pp.
- Ramírez, L. E., Palacios, C., Townley, B., Parada, M. A., Sial, A. N., Fernandez- Turiel, J. L., Gimeno, D., Garcia-Valles, M. & Lehmann, B., 2006- The Mantos Blancos copper deposit: An upper Jurassic breccia-style hydrothermal system in the coastal range of northern Chile. *Mineral Deposita* 41: 246 – 258.
- Robb, L., 2005- Introduction of Ore Forming Processes: John Wiley & Sons 386pp.
- Rosemeyer, T., 2011- News from the Keweenaw, Recent Mineral Finds in Michigan's Copper Country, part 4, *Rocks and Minerals*. 86: 206- 227.
- Ruiz, C., Aguilar, A., Egert, E., Espinoza, W., Peebles, F., Quezada, R. & Serrano, M., 1971- Strata-bound copper sulphide deposits of Chile: Soc Mining Geol Japan Spec Issue 3: 252–260.
- Shepherd, T. J., Rankin, A. H. & Alderton, D. H. M., 1985- A Practical Guide to Fluid Inclusion Studies. Blackie and Sons, Glasgow 239pp.
- Swenson, J. B. & Person, M., 2000- The role of basin-scale transgression and sediment compaction in stratiform copper mineralization: implications from White Pine, Michigan, USA. *Journal of Geochemical Exploration* 69–70: 239–243.
- Townley, B. K., Maksaev, V., Palacios, C., Lahsen, A. & Parada, M. A., 2000- Base and precious metal geochemistry of rock units of the mainland Aysén region, Chilean Patagonia. *Journal of Geochemical Exploration* 68: 21–46.
- Townley, B., Roperch, P., Oliveros, P., Tassara, A. & Arriagada, C., 2007- Hydrothermal alteration and magnetic properties of rocks in the Carolina de Michilla stratabound copper district, northern Chile. *Miner Deposita* 42: 771–789.
- Tristá -Aguilera, D., Barra, F., Ruiz, J., Morata, D., Talavera-Mendoza, O., Kojima, S. & Ferraris, F., 2006- Re-Os isotope systematics for the Lince – Estefanía deposit: constraints on the timing and source of copper mineralization in a stratabound copper deposit, Coastal Cordillera of Northern Chile. *Miner Deposita* 41: 99–105.
- Whitney, D. L. & Evans, B. W., 2010- Abbreviations for names of rock-forming minerals. *American Mineralogist* 95: 185–187.
- Wilkinson, J. J., 2001- Fluid inclusions in hydrothermal ore deposits. *Lithos* 55: 229-272.
- Wilson, N. S. F. & Zentilli, M., 2006- Association of pyrobitumen with copper mineralization from the Uchumi and Talcuna districts, central Chile. *International Journal of Coal Geology* 65:158– 169.

The Madan Bozorg, volcanic-hosted copper deposit, East Shahroud; an example of Manto type copper deposits in Iran

L. Salehi^{1*}, I. Rasa², S. Alirezaei³ & A. Kazemi Mehrnia⁴

¹ Ph.D., Department of Geology, Faculty of Earth Sciences, Shahid Beheshti University, Tehran, Iran

² Professor, Department of Geology, Faculty of Earth Sciences, Shahid Beheshti University, Tehran, Iran

³ Assistant Professor, Department of Geology, Faculty of Earth Sciences, Shahid Beheshti University, Tehran, Iran

⁴ Ph.D., Parsi Kan Kav En. Co., Tehran, Iran

Received: 2015 February 25

Accepted: 2015 August 22

Abstract

The Madan Bozorg deposit is located in the Abbas Abad mining district, about 130 km east of Shahroud. The area is covered by a NE-SW trending belt of intermediate-mafic lava flows and pyroclastic materials, as well as interlayered sedimentary rocks. Eight copper deposits have been identified in the district. Based on the chemistry, the volcanic rocks can be classified as trachyandesite, trachyandesitic basalt and trachybasalt; the rocks display high potassium calc-alkaline to shoshonitic affinities and bear geochemical attributes characteristic of continental arc settings. The Madan Bozorg deposit is hosted in trachyandesite with porphyritic to megaporphyritic, glomeroporphyritic and amygdaloidal textures. Based on field observations, microscopic studies, Raman spectroscopy and XRD results, two types of alteration, regional and local, can be distinguished. The regional or background alteration, is comparable to a propylitic assemblage and occurs in mineralized and non-mineralized volcanic units. Local alteration associated with copper mineralization includes calcic, silicic, sericitic, chloritic, zeolitic and hematitic. Copper mineralization occurs as disseminated, vein-veinlet, replacement, stockworks and irregular open space fillings. Based on microscopic studies and EPMA data, chalcocite group minerals (chalcocite, djurleite, anilite, digenite and covellite) are the main ore minerals and are accompanied by subordinate bornite, pyrite and hematite. Secondary minerals include covellite, malachite, azurite, chrysocolla and goethite. Nonmetallic minerals are quartz, chlorite, epidote, calcite, and chalcedony. Based on fluid inclusion studies on coexisting quartz, homogenization temperatures are between 90 to 268°C with an average of 176°C. Salinities vary between 3.38 to 21.96 (average, 13.21) wt% NaCl eq. Fluid density varies between 0.8 to 1.1 g.cm⁻³. The depth of fluid inclusion trapping is estimated to be less than 200 meters, and ore formation occurred at pressures less than 50 bars. The host rocks, ore mineralogy, ore textures and structures, and fluid inclusions characteristics in Madan Bozorg deposit are similar to those reported from Manto type copper deposits in Mesozoic-Cenozoic volcanic belts in South America and elsewhere.

Keywords: Manto Type Copper, Madan Bozorg, Abbas Abad, Chalcocite, Cenozoic Volcanic, Fluid Inclusion.

For Persian Version see pages 93 to 104

*Corresponding author: L. Salehi; E-mail: salehi1006@gmail.com